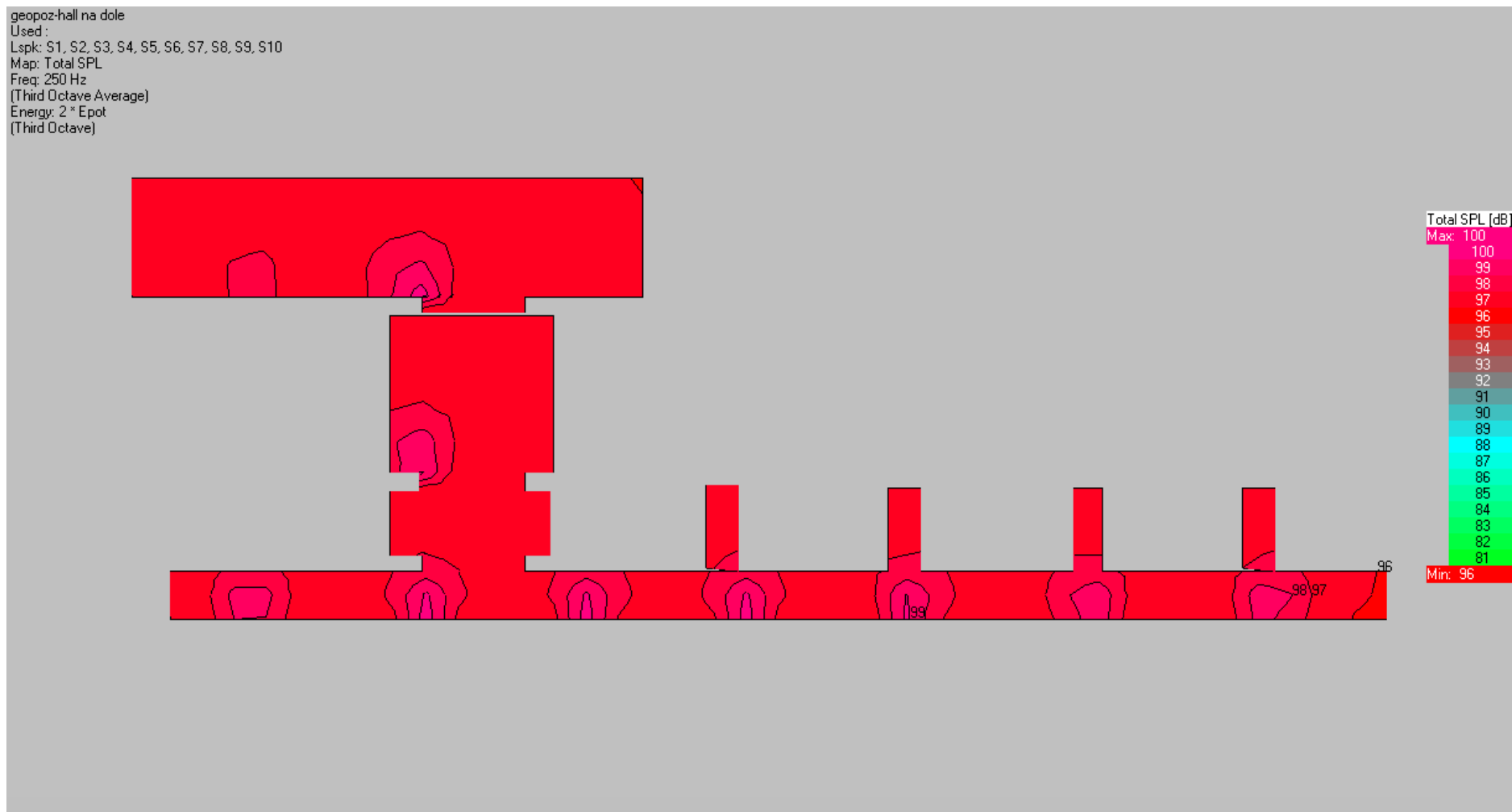
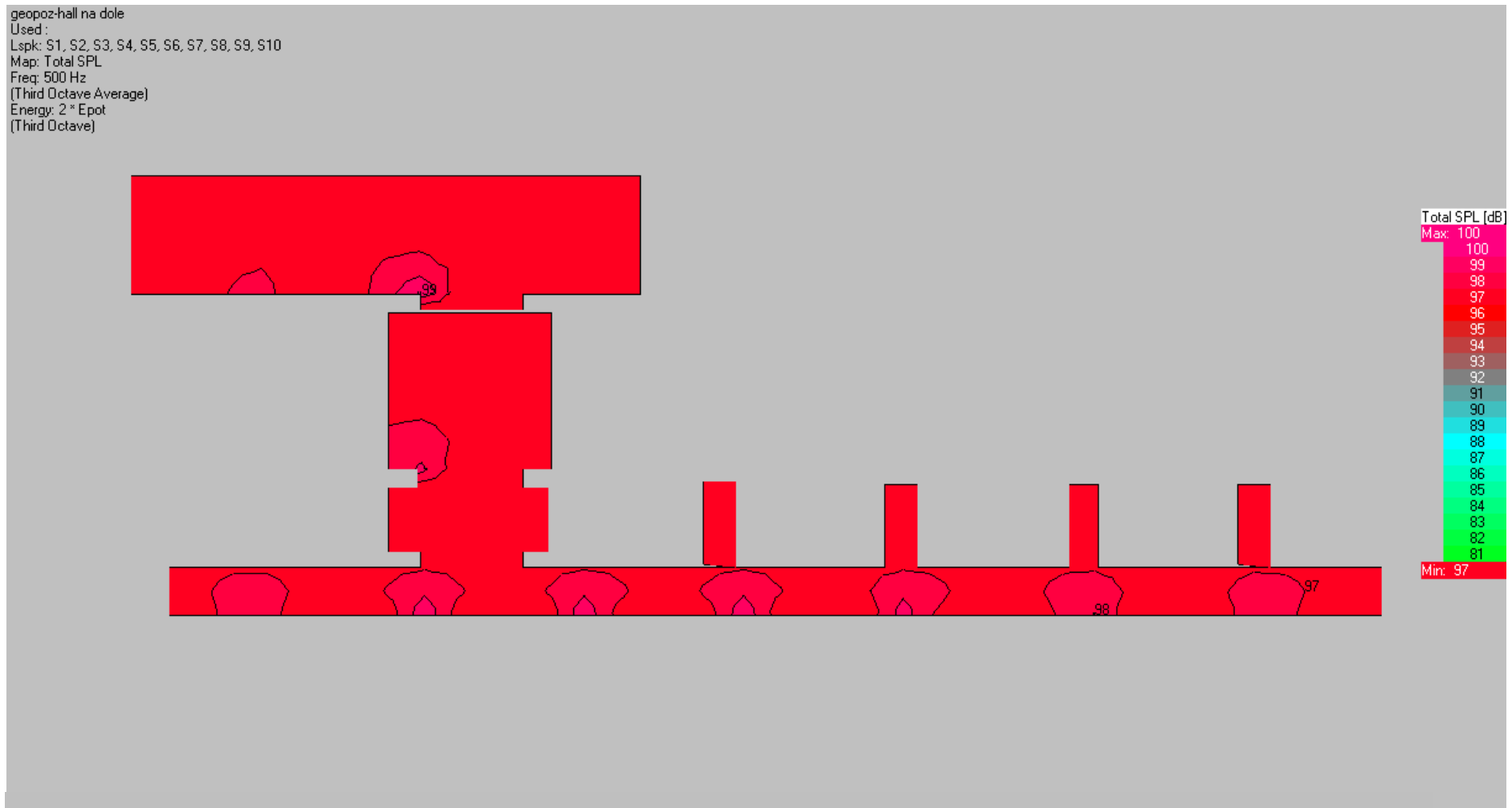


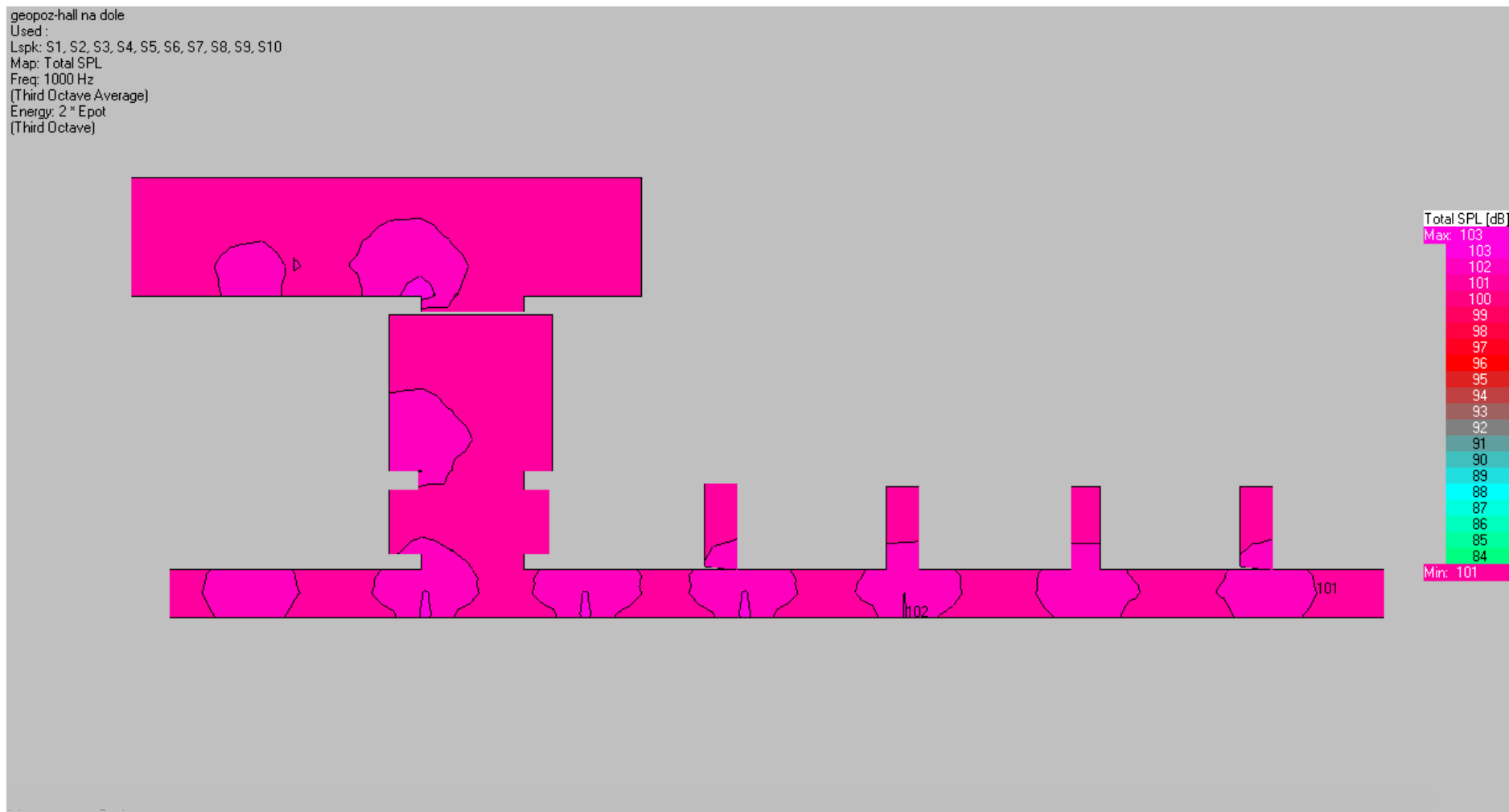
Rys. 7. Parter: hall-winda-korytarz. Całkowity rozkład ciśnienia akustycznego (pasmo o $f_0 = 125$ Hz).



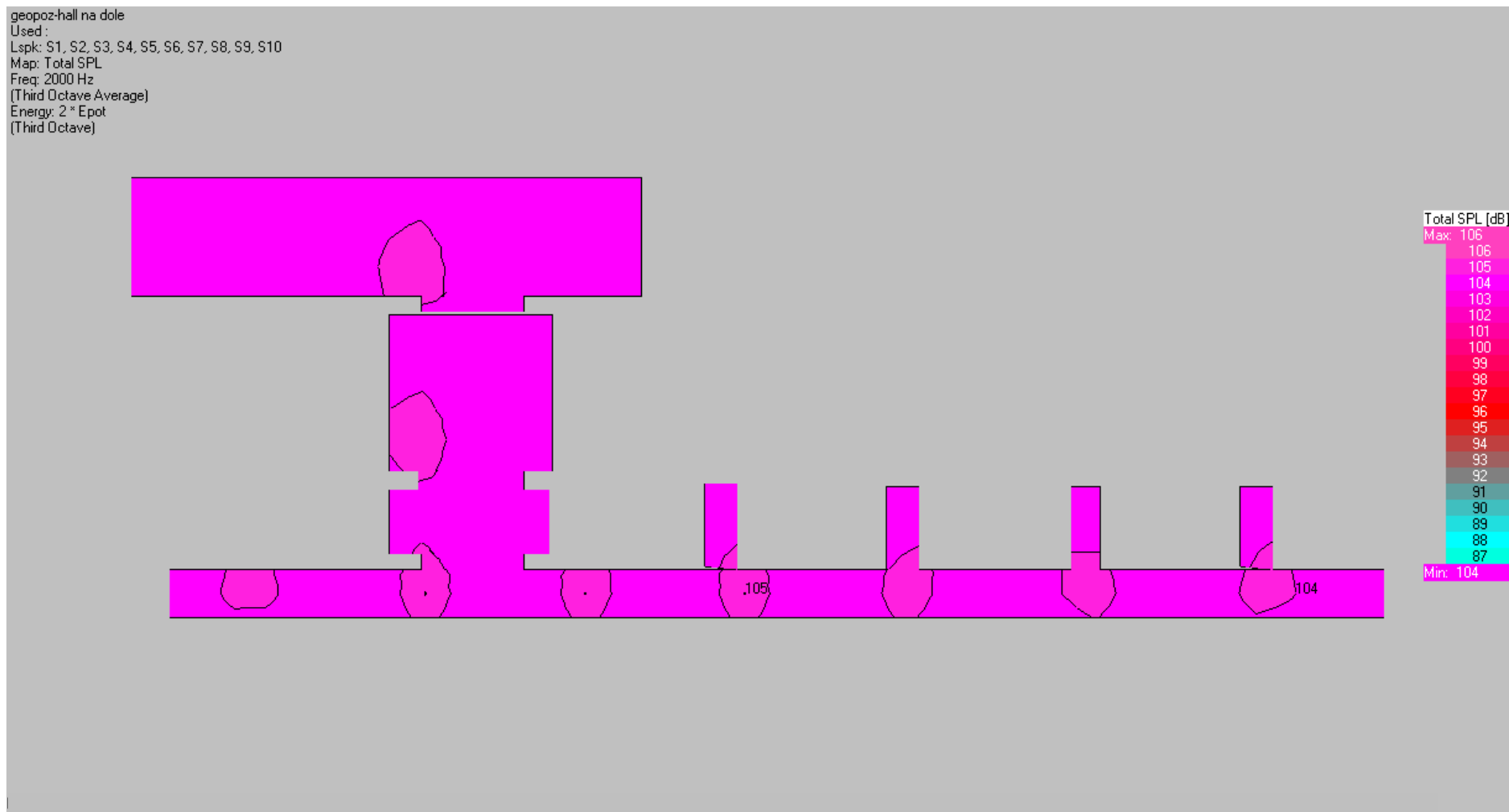
Rys. 8. Parter: hall-winda-korytarz. Całkowity rozkład ciśnienia akustycznego (pasmo o $f_0 = 250$ Hz).



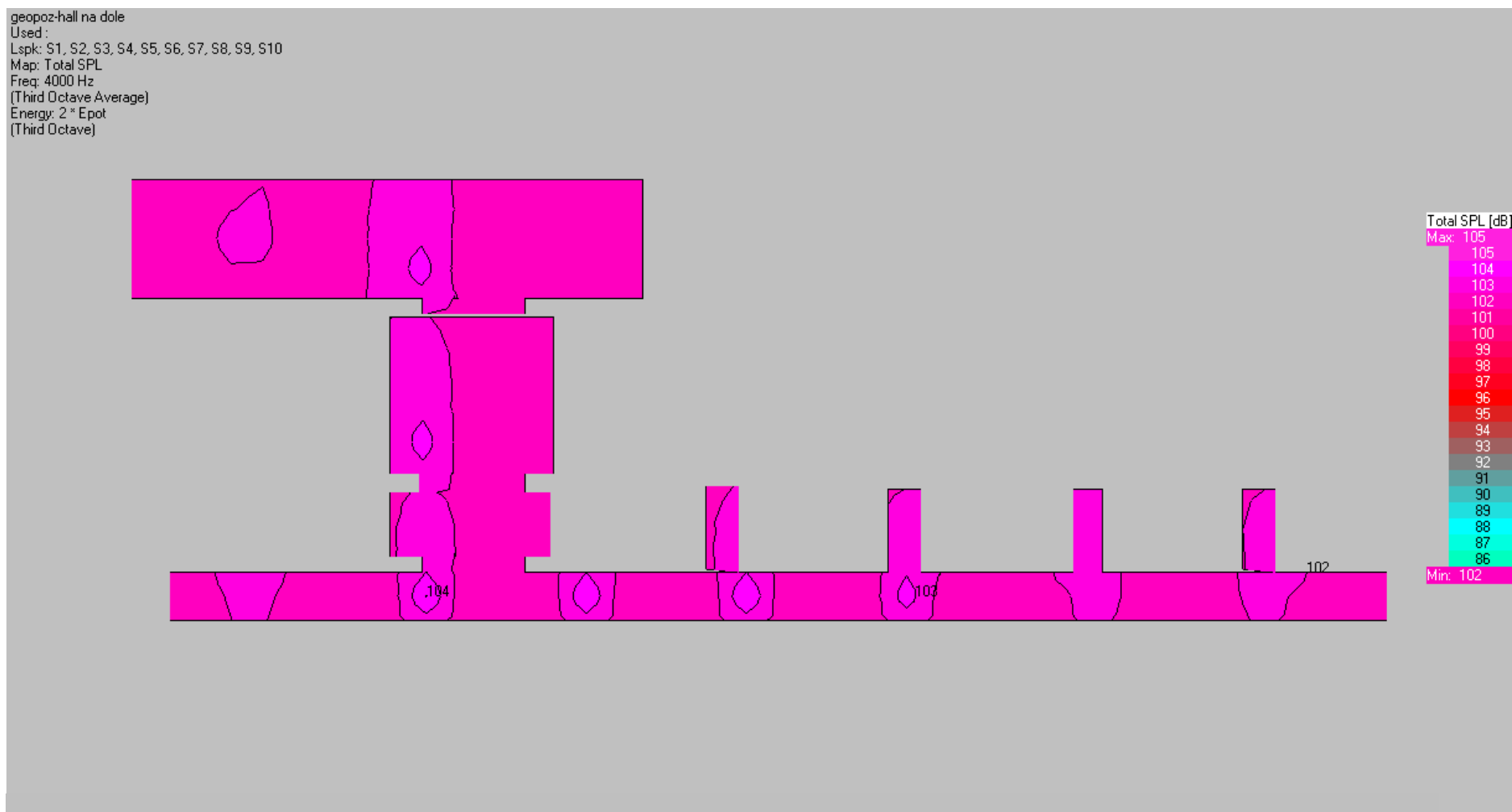
Rys. 9. Parter: hall-winda-korytarz. Całkowity rozkład ciśnienia akustycznego (pasmo o $f_0 = 500$ Hz).



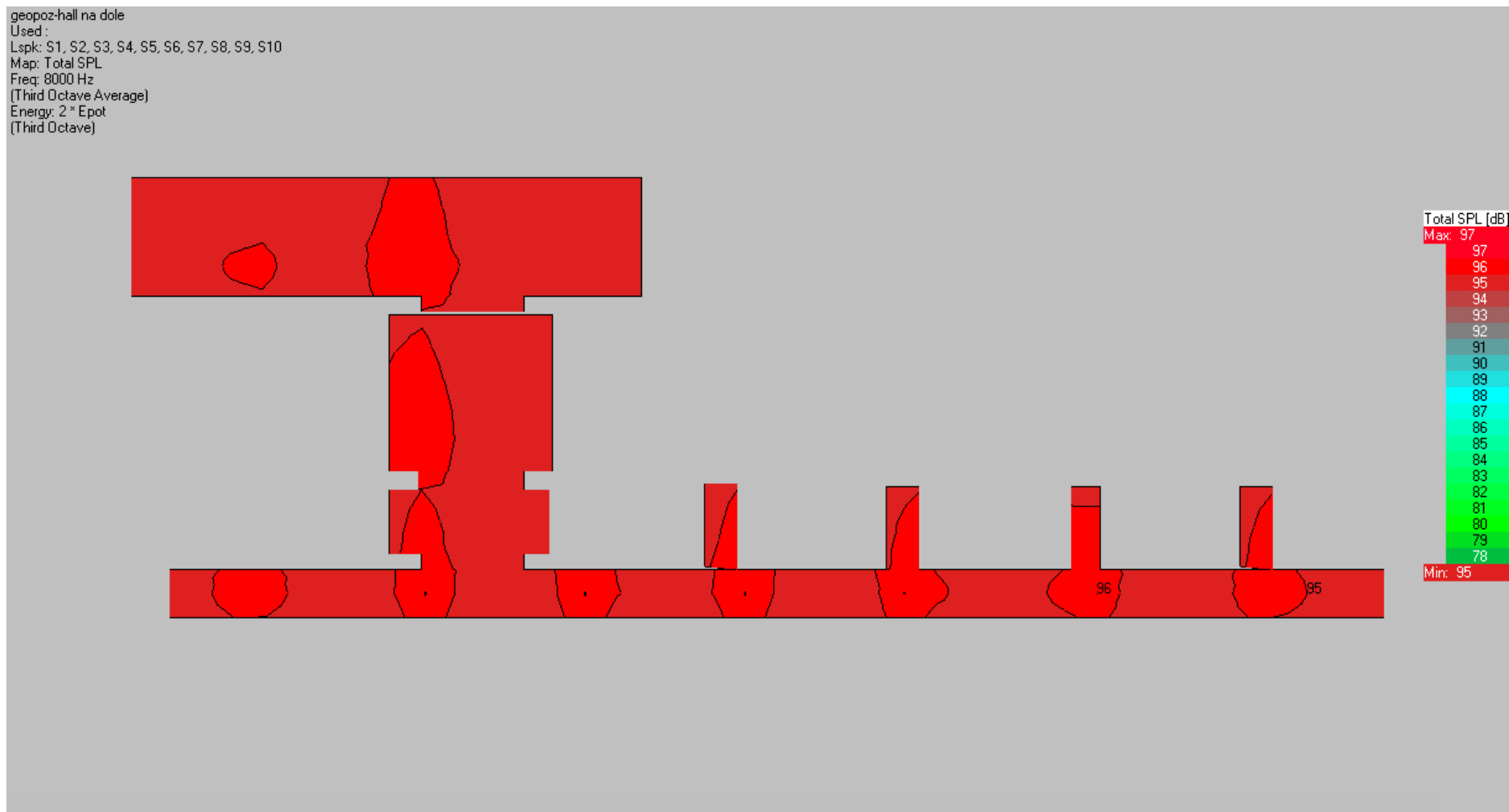
Rys. 10. Parter: hall-winda-korytarz. Całkowity rozkład ciśnienia akustycznego (pasmo o $f_0 = 1000$ Hz).



Rys. 11. Parter: hall-winda-korytarz. Całkowity rozkład ciśnienia akustycznego (pasmo o $f_0 = 2000$ Hz).



Rys. 12. Parter: hall-winda-korytarz. Całkowity rozkład ciśnienia akustycznego (pasmo o $f_0 = 4000$ Hz).



Rys. 13. Parter: hall-winda-korytarz. Całkowity rozkład ciśnienia akustycznego (pasmo o $f_0 = 8000$ Hz).

geopoz-hall na dole

Used:

Lspk: S1, S2, S3, S4, S5, S6, S7, S8, S9, S10

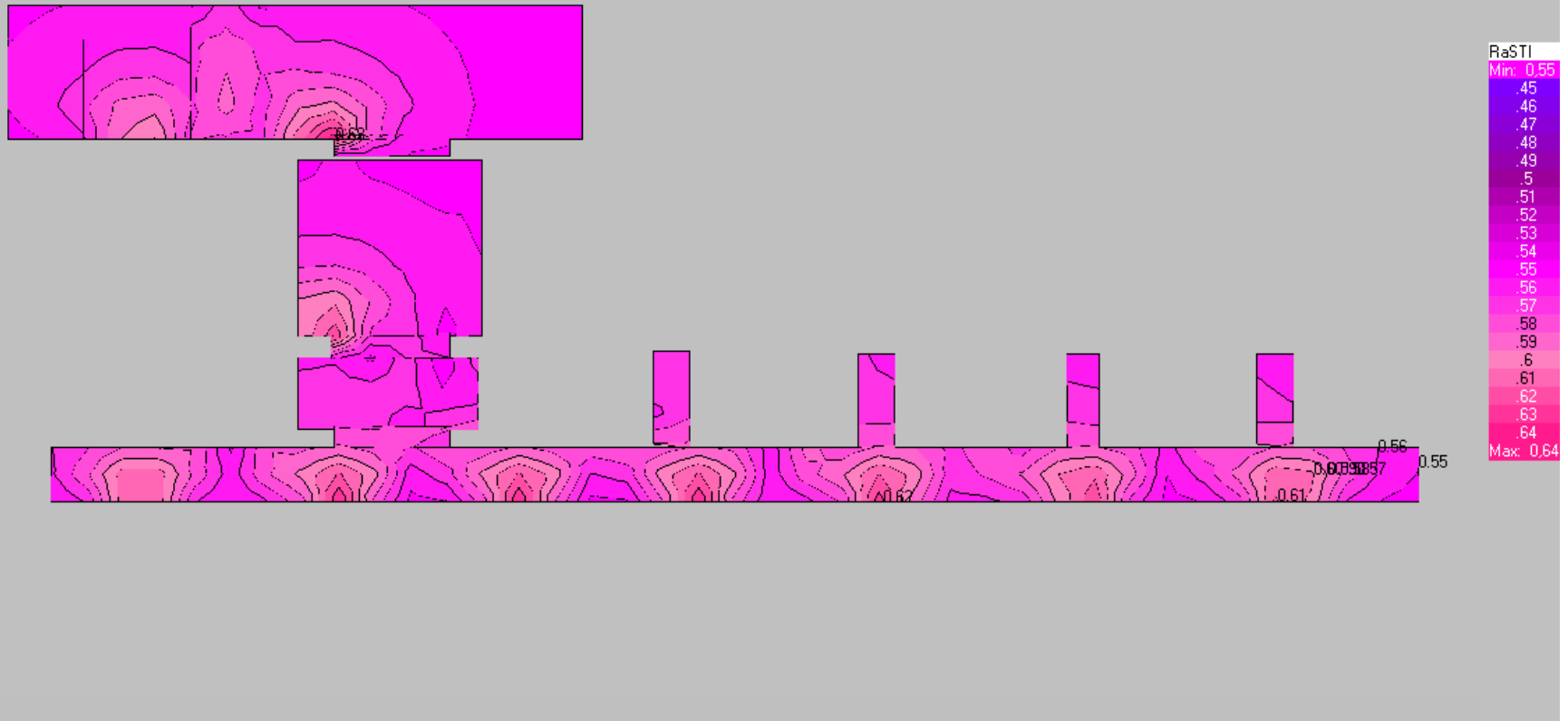
Map: RaSTI

Freq: 500 Hz

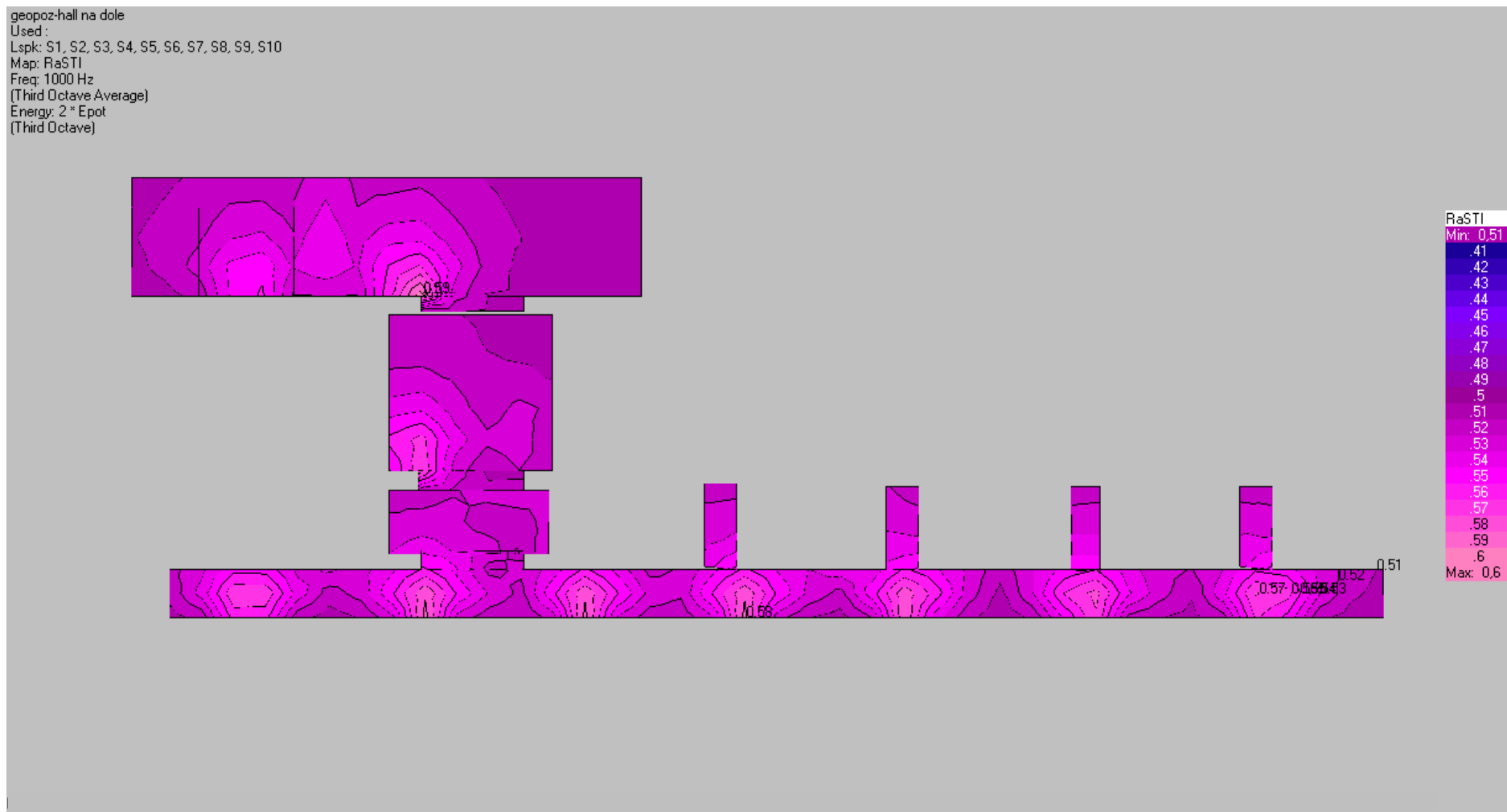
(Third Octave Average)

Energy: 2 * Epot

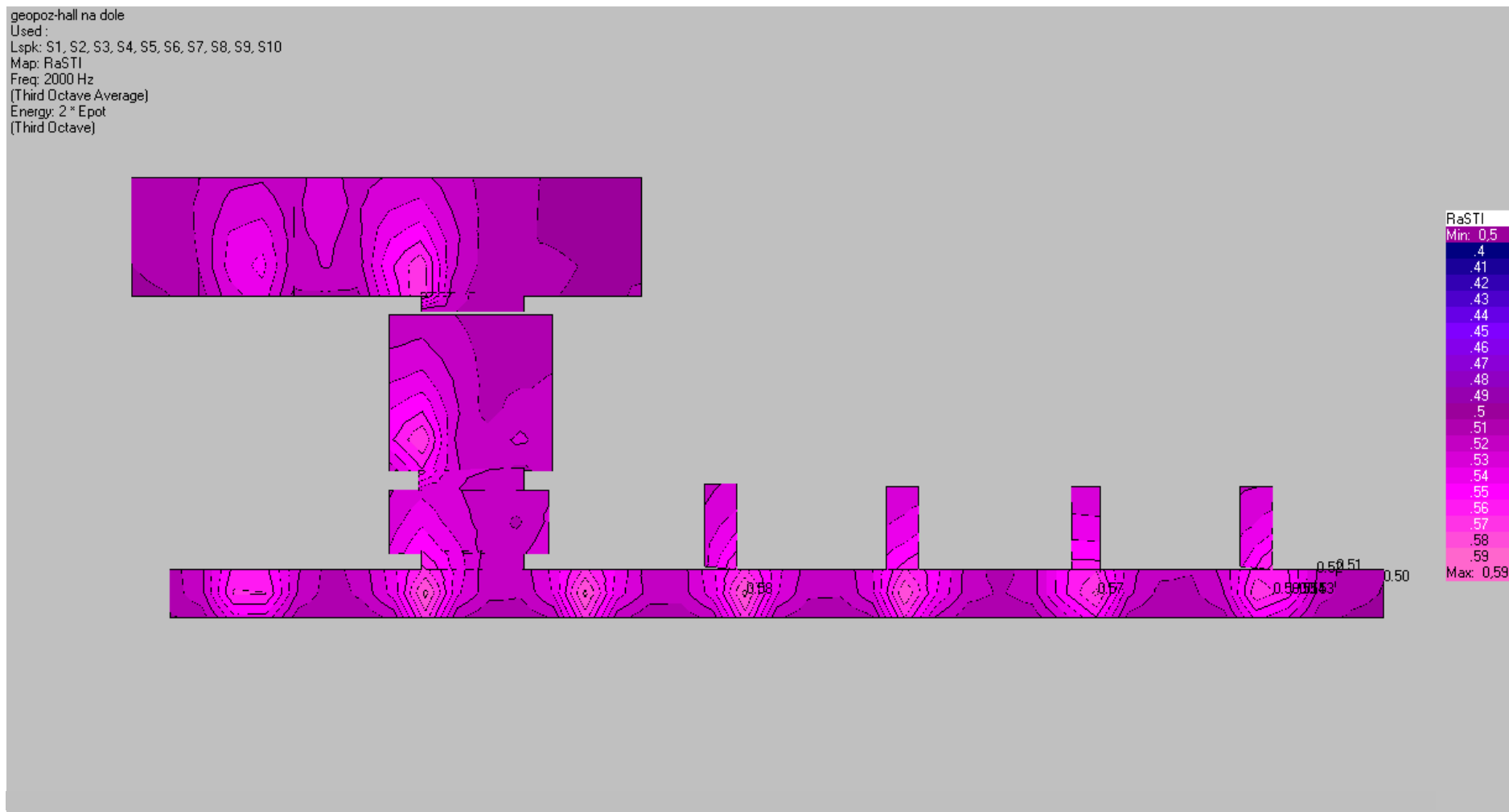
(Third Octave)



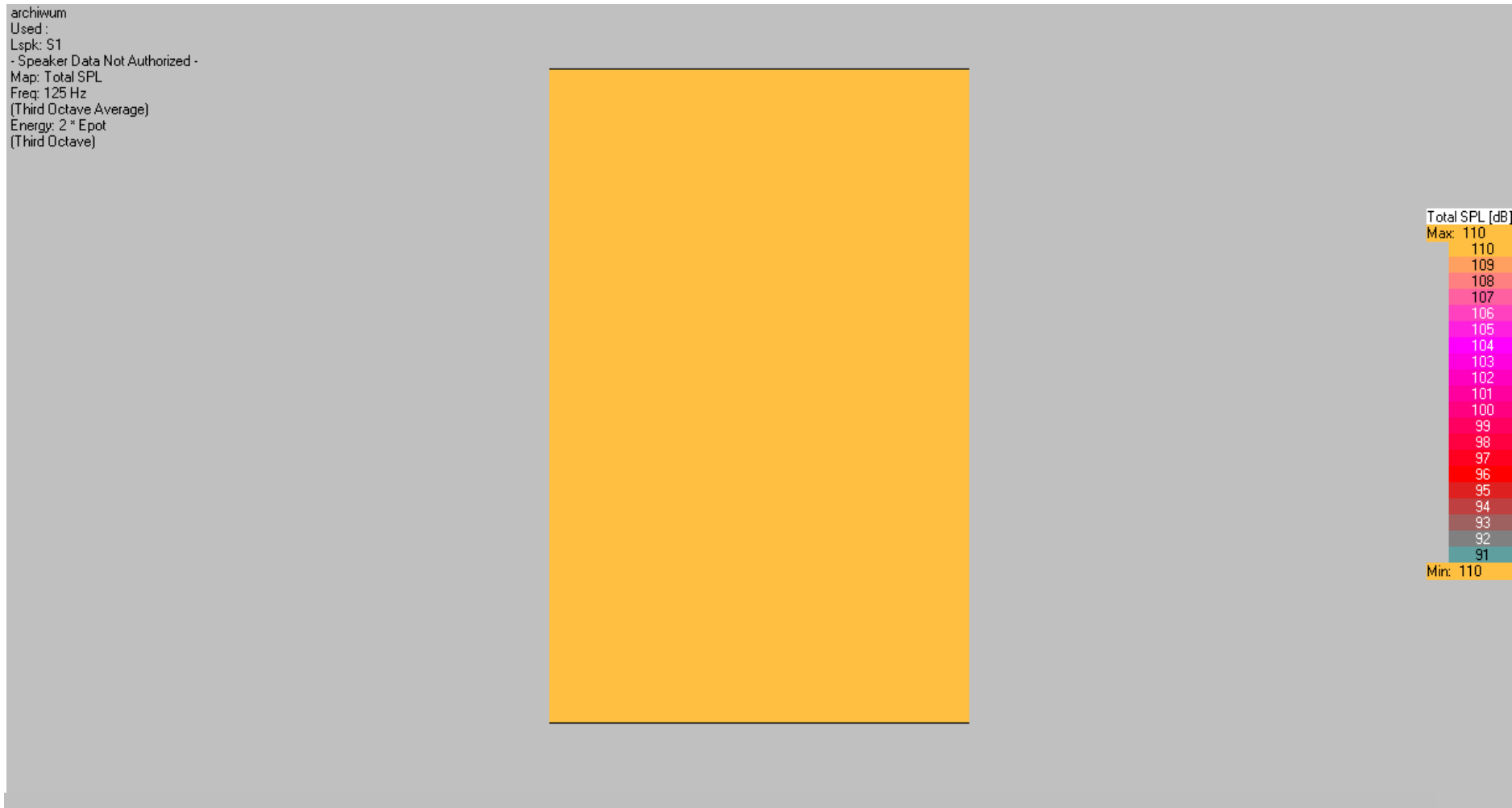
Rys. 14. Parter: hall-winda-korytarz. Rozkład wskaźnika RASTI (pasmo o $f_0 = 500$ Hz).



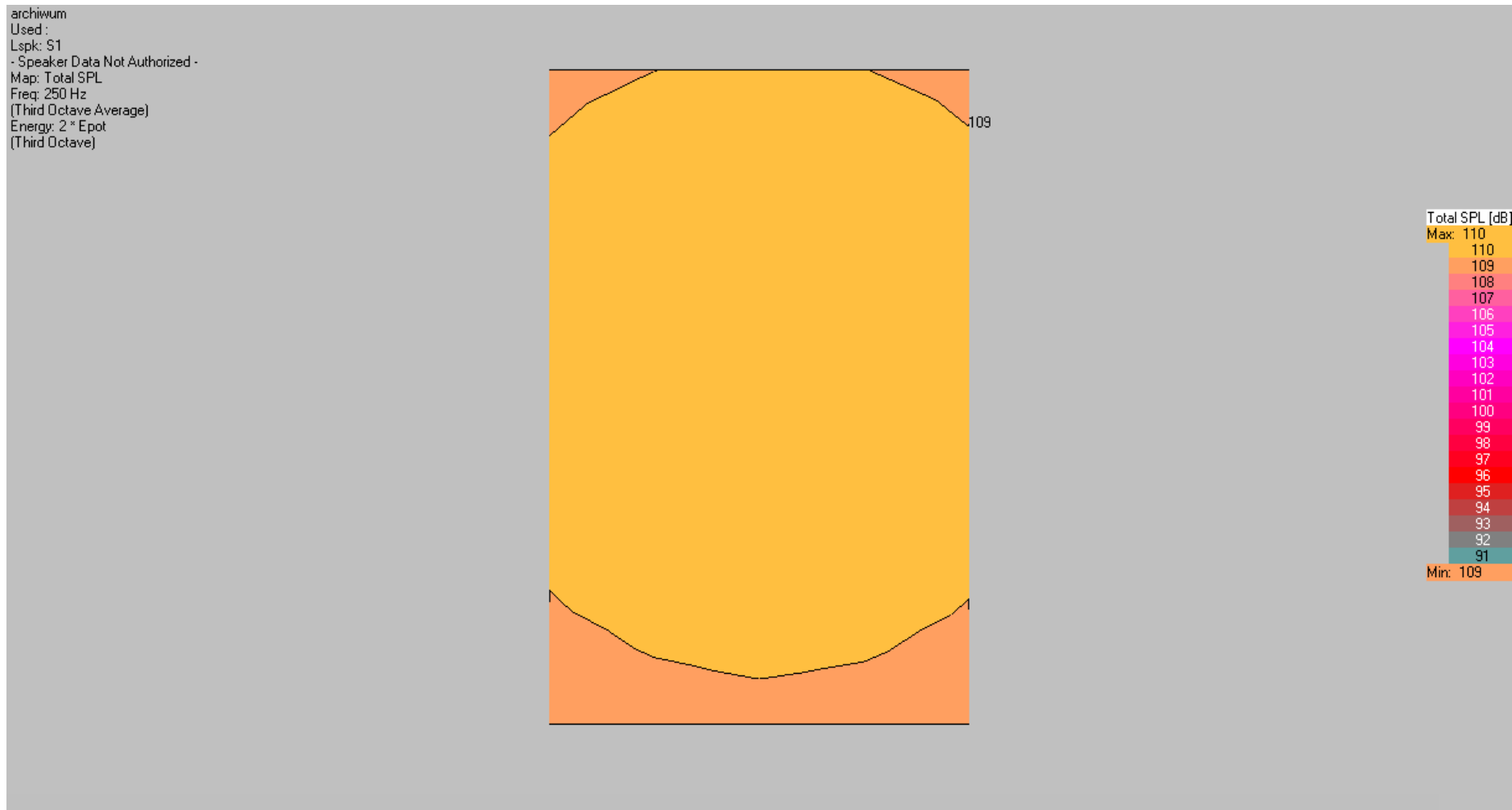
Rys. 15. Parter: hall-winda-korytarz. Rozkład wskaźnika RASTI (pasmo o $f_0 = 1000$ Hz).



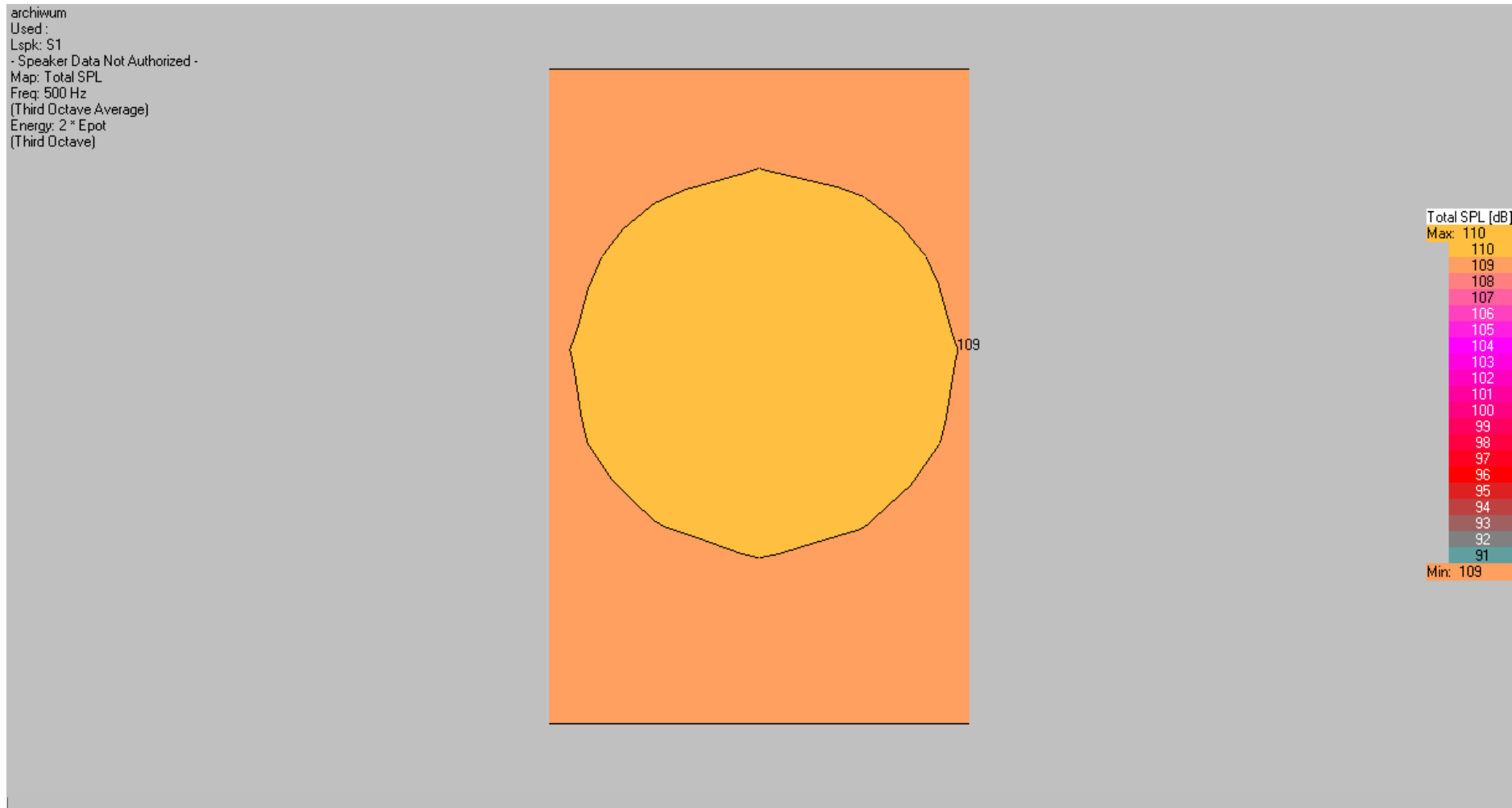
Rys. 16. Parter: hall-winda-korytarz. Rozkład wskaźnika RASTI (pasmo o $f_0 = 2000$ Hz).



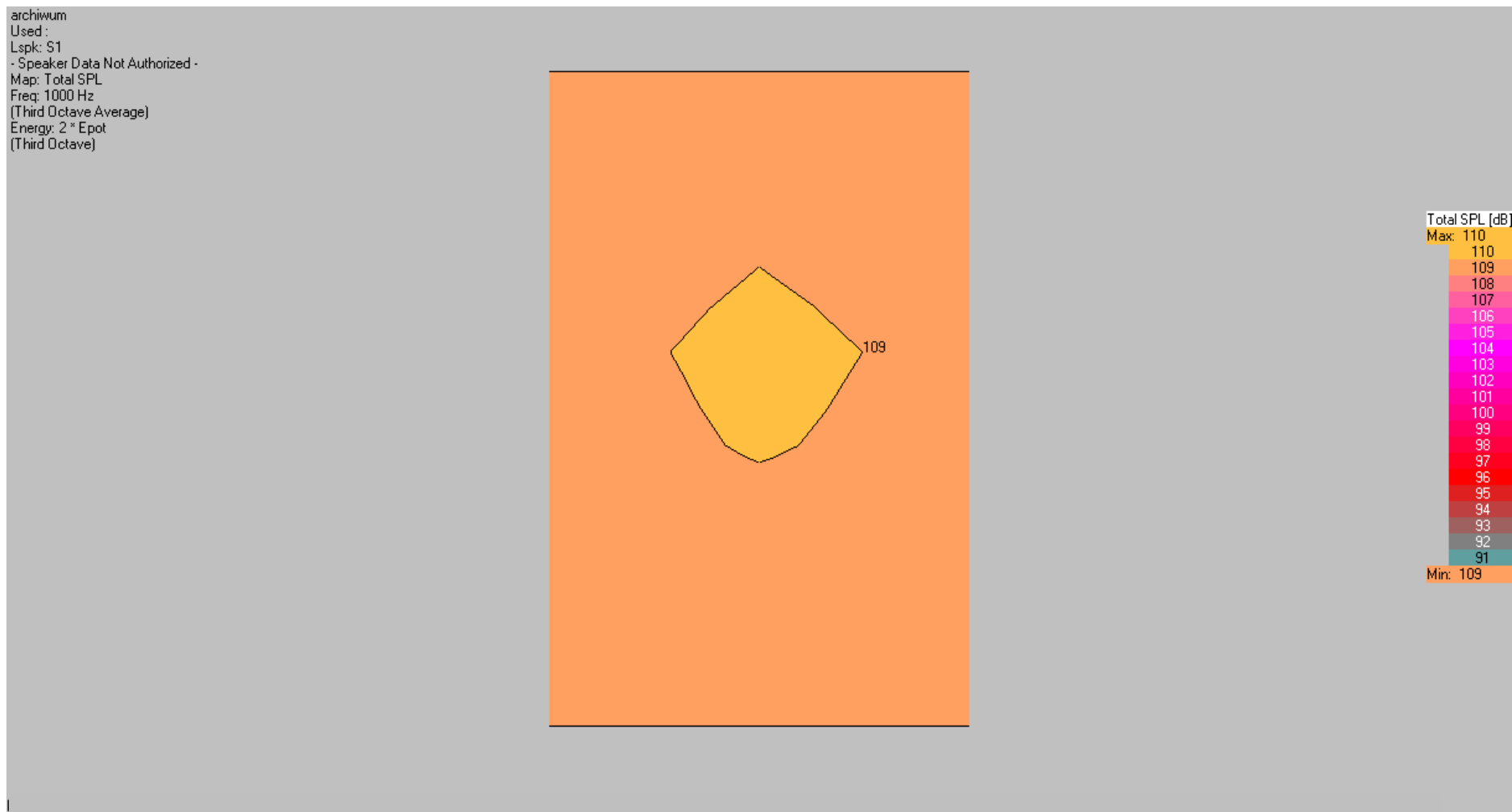
Rys. 17. Archiwum. Całkowity rozkład ciśnienia akustycznego (pasmo o $f_0 = 125$ Hz).



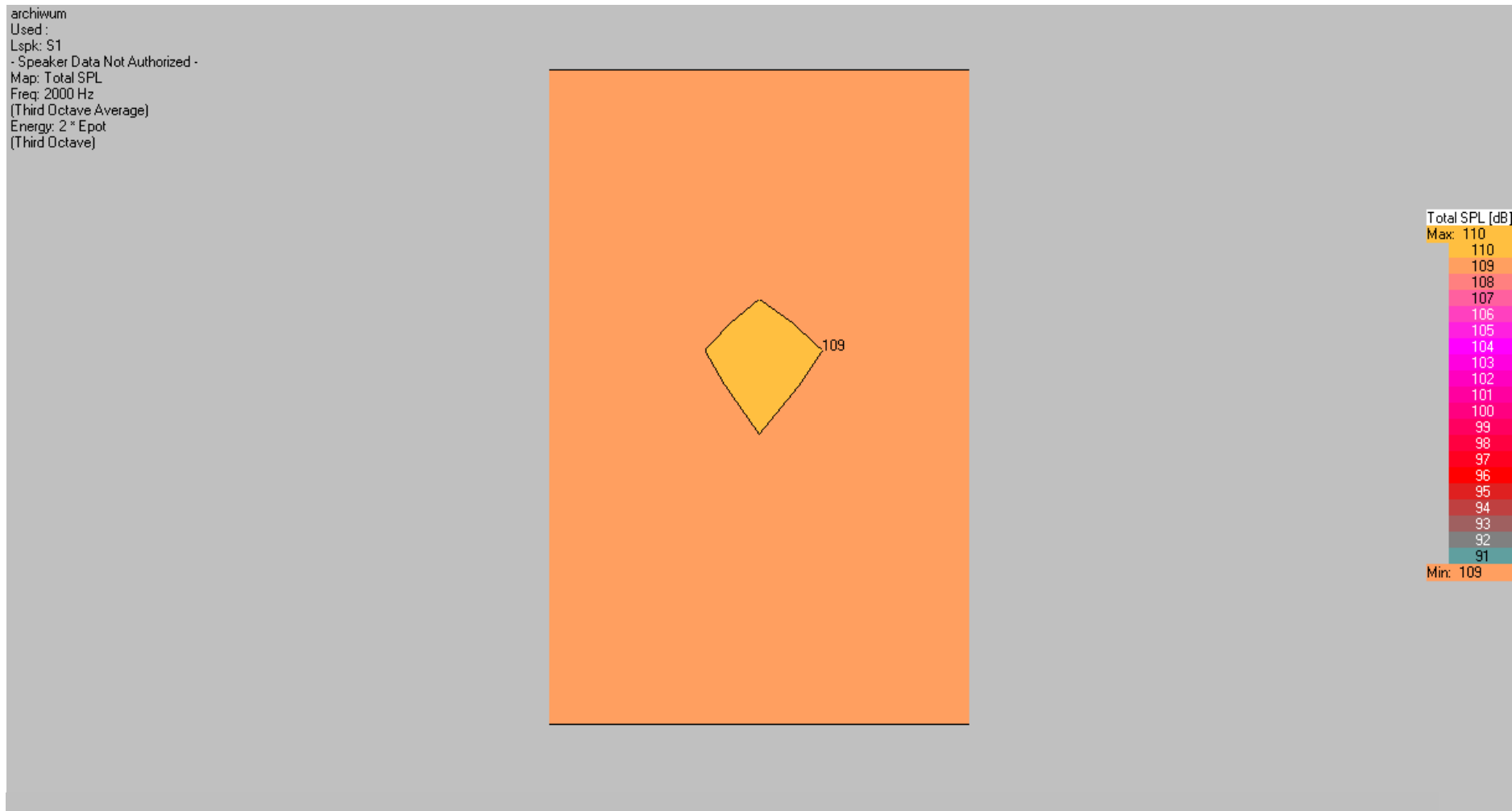
Rys. 18 Archiwum. Całkowity rozkład ciśnienia akustycznego (pasmo o $f_0 = 250$ Hz).



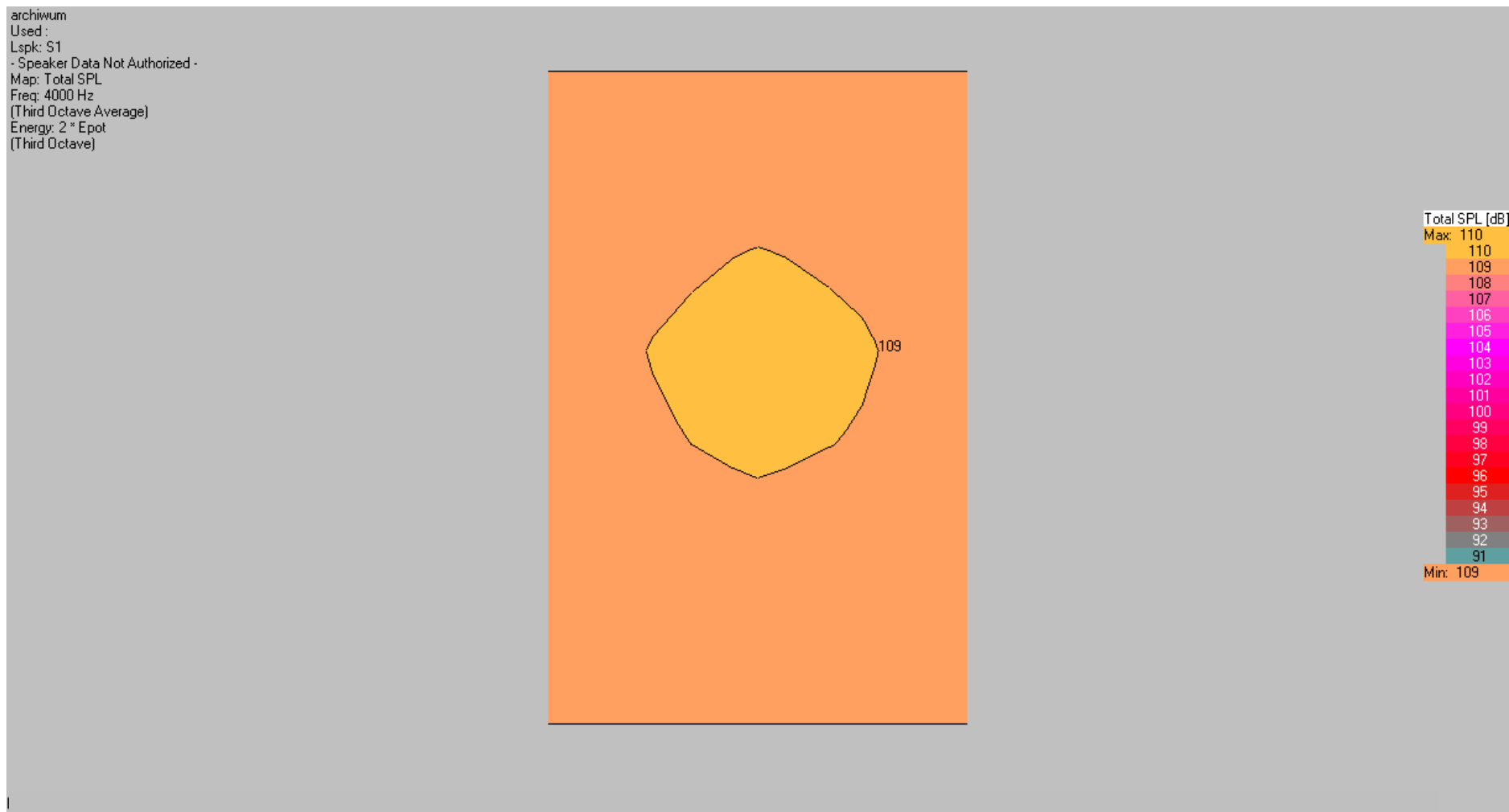
Rys. 19. Archiwum. Całkowity rozkład ciśnienia akustycznego (pasmo o $f_0 = 500$ Hz).



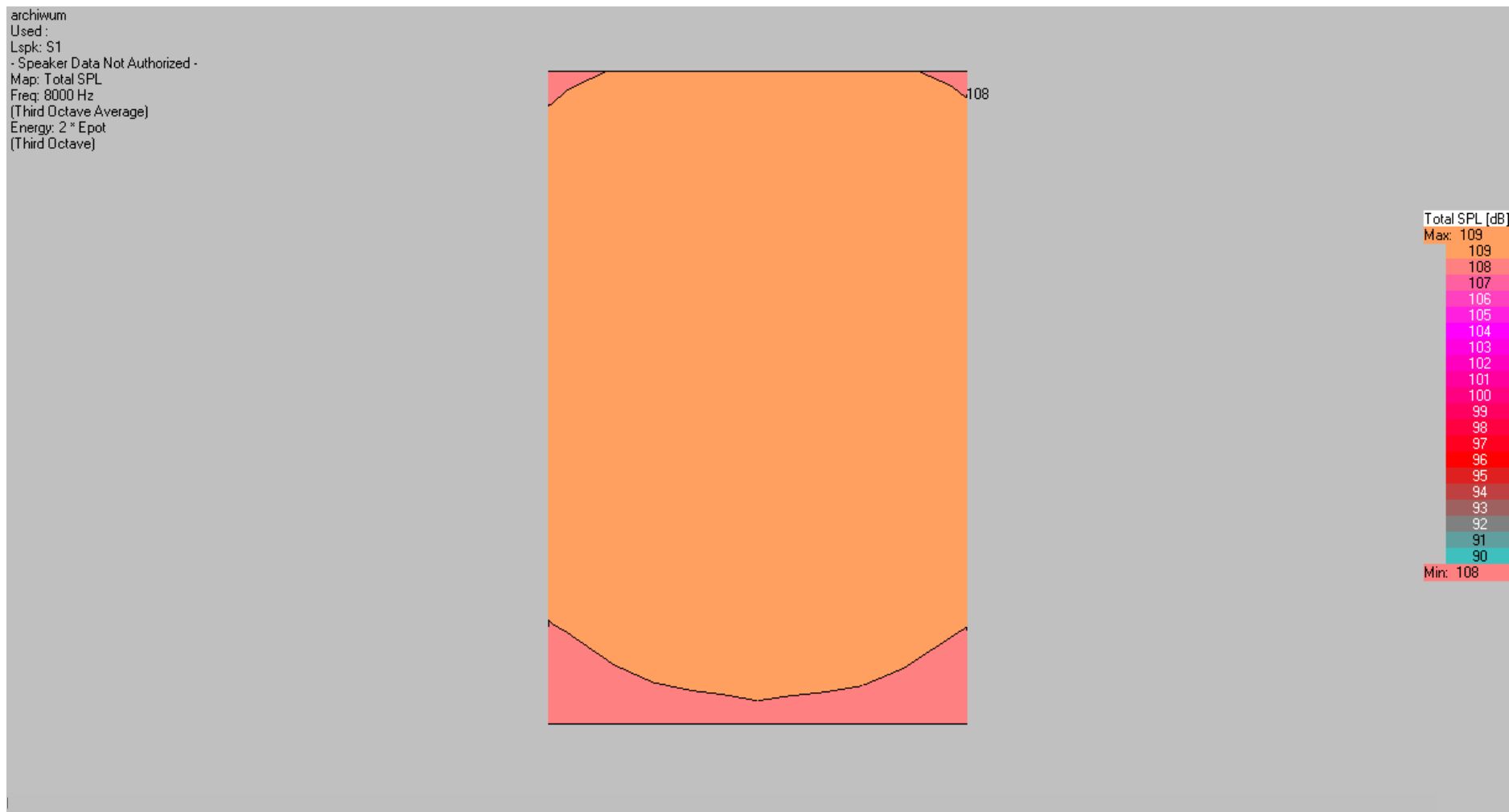
Rys. 20. Archiwum. Całkowity rozkład ciśnienia akustycznego (pasmo o $f_0 = 1000$ Hz).



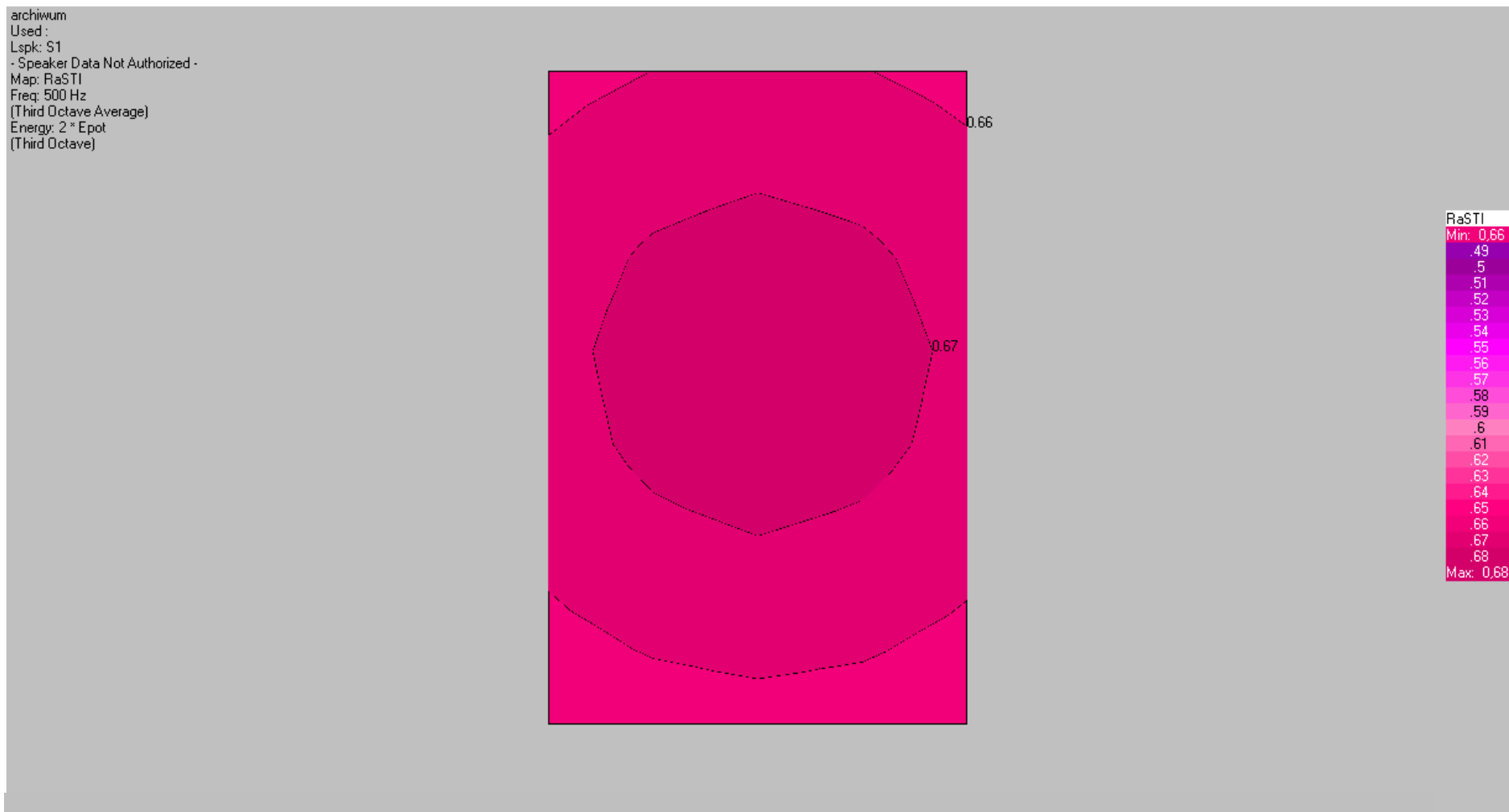
Rys. 21. Archiwum. Całkowity rozkład ciśnienia akustycznego (pasmo o $f_0 = 2000$ Hz).



Rys. 22. Archiwum. Całkowity rozkład ciśnienia akustycznego (pasmo o $f_0 = 4000$ Hz).

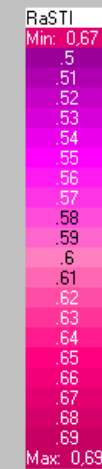
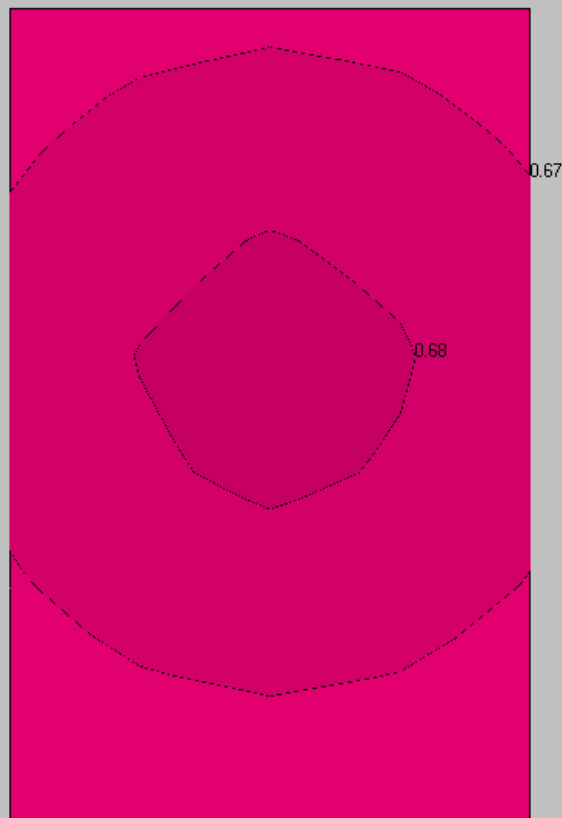


Rys. 23. Archiwum. Całkowity rozkład ciśnienia akustycznego (pasmo o $f_0 = 8000$ Hz).



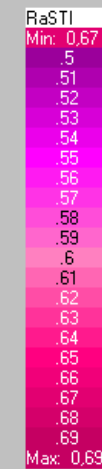
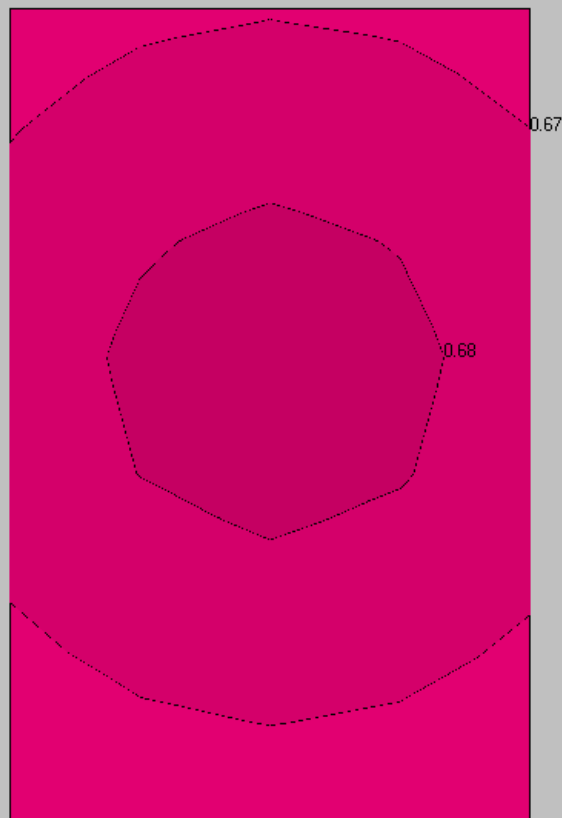
Rys. 24. Archiwum. Rozkład wskaźnika RASTI (pasmo o $f_0 = 500$ Hz).

archiwum
Used :
Lspk: S1
- Speaker Data Not Authorized -
Map: RaSTI
Freq: 1000 Hz
(Third Octave Average)
Energy: 2° Epot
(Third Octave)

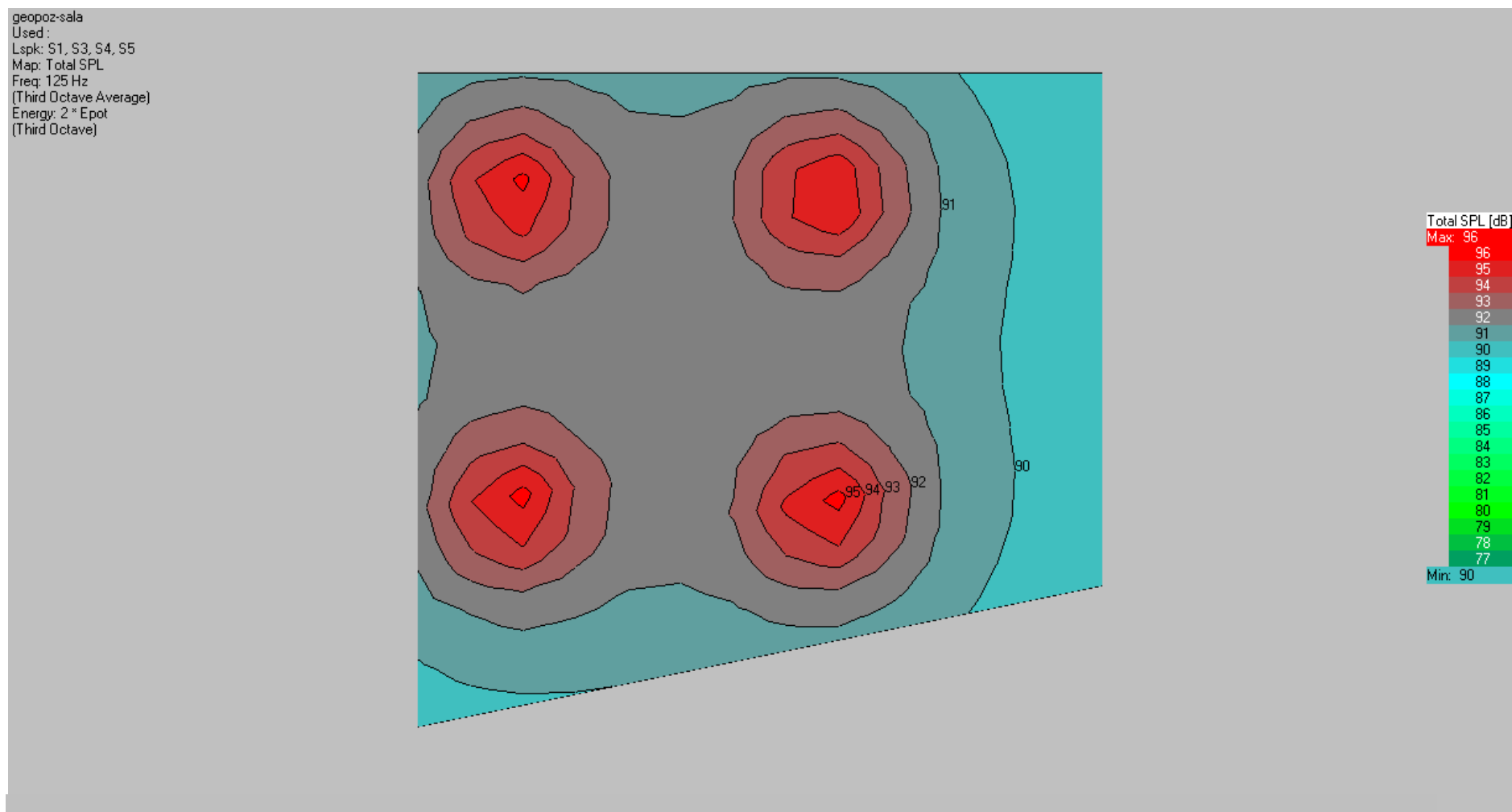


Rys. 25. Archiwum. Rozkład wskaźnika RASTI (pasmo o $f_0 = 1000$ Hz).

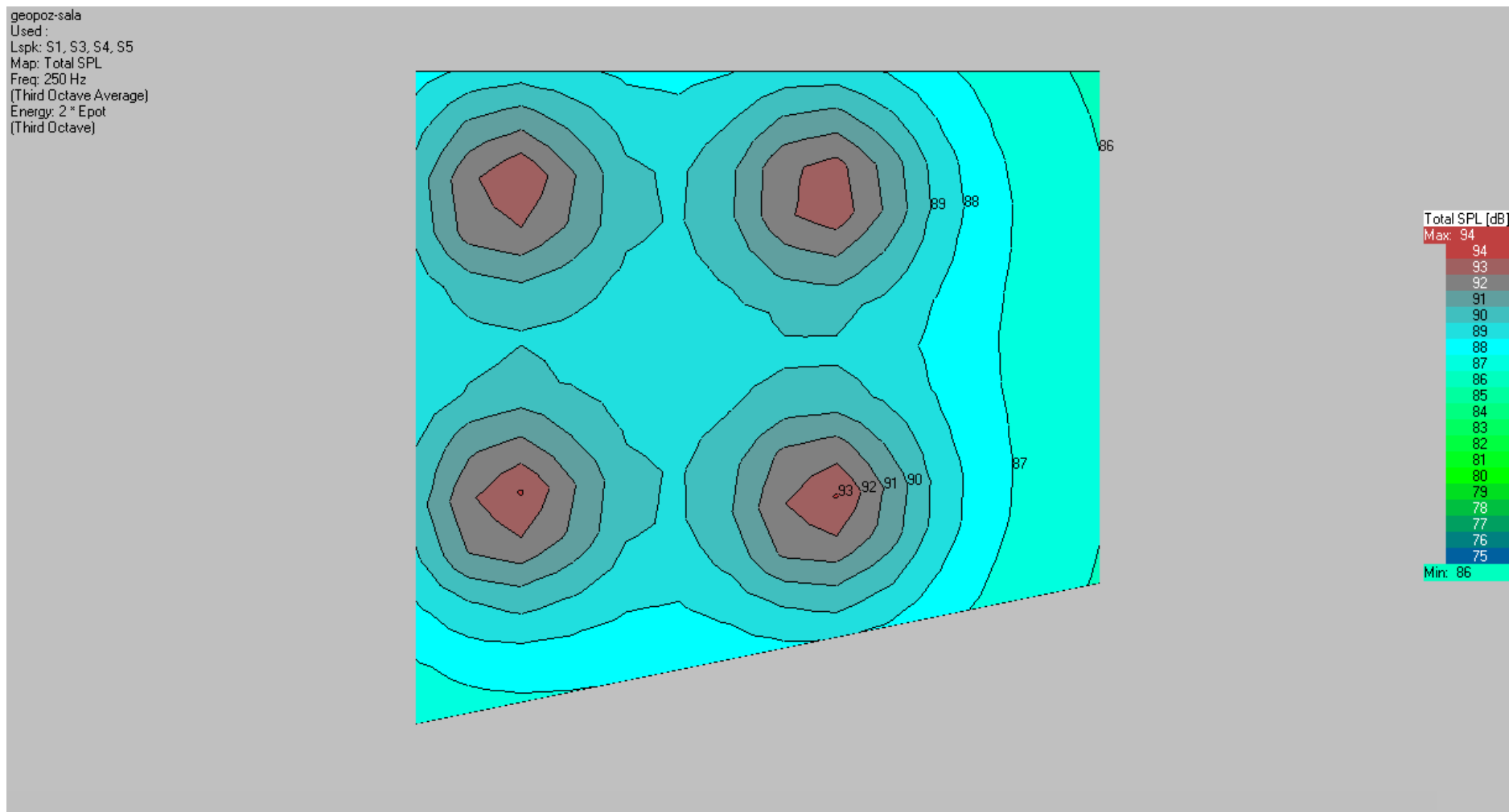
archiwum
Used :
Lspk: S1
- Speaker Data Not Authorized -
Map: RaSTI
Freq: 2000 Hz
(Third Octave Average)
Energy: 2nd Epot
(Third Octave)



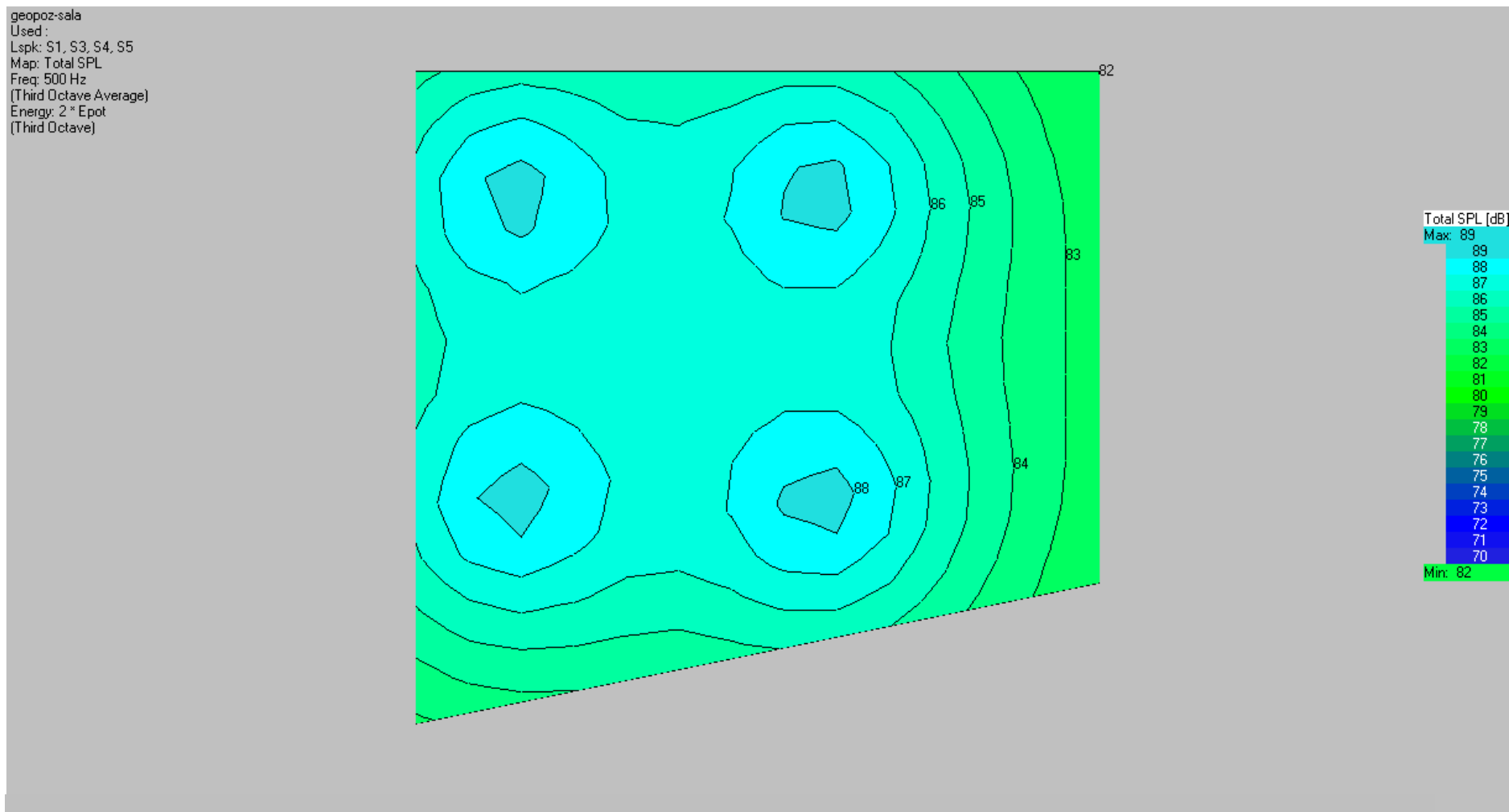
Rys. 26. Archiwum. Rozkład wskaźnika RASTI (pasmo o $f_0 = 2000$ Hz).



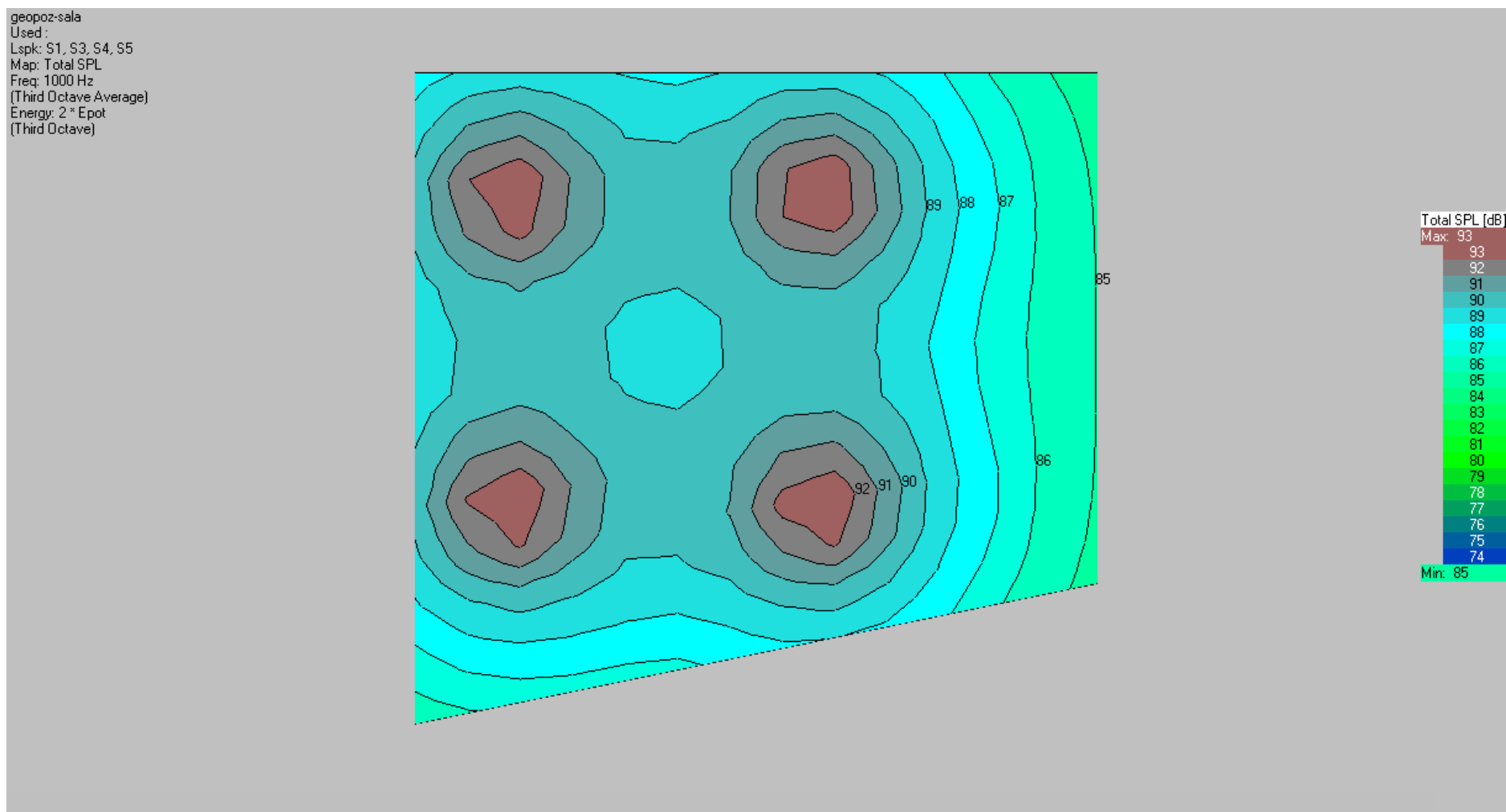
Rys. 27. I piętro: duże pomieszczenie biurowe. Całkowity rozkład ciśnienia akustycznego (pasmo o $f_0 = 125$ Hz).



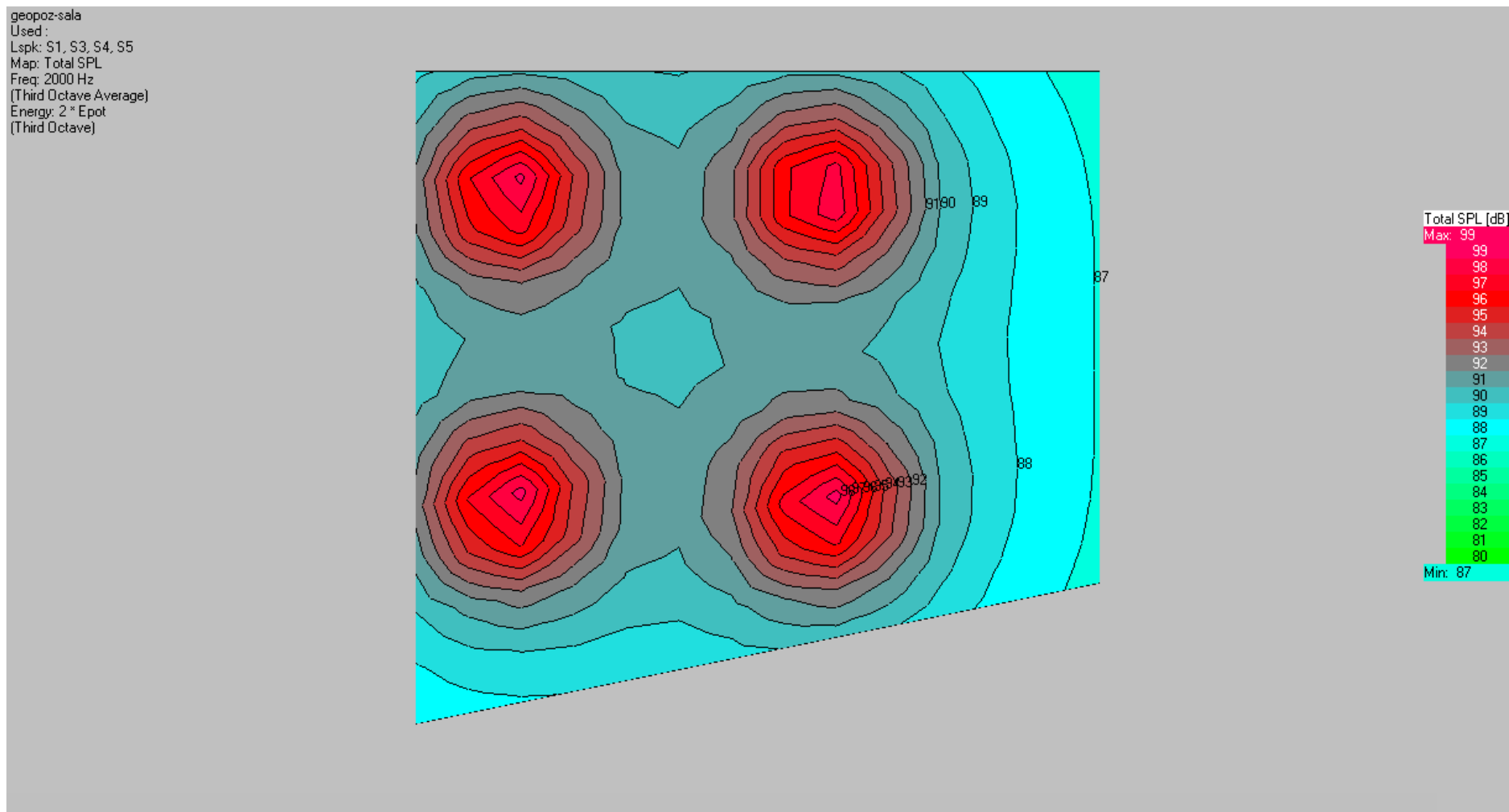
Rys. 28. I piętro: duże pomieszczenie biurowe. Całkowity rozkład ciśnienia akustycznego (pasmo o $f_0 = 250$ Hz).



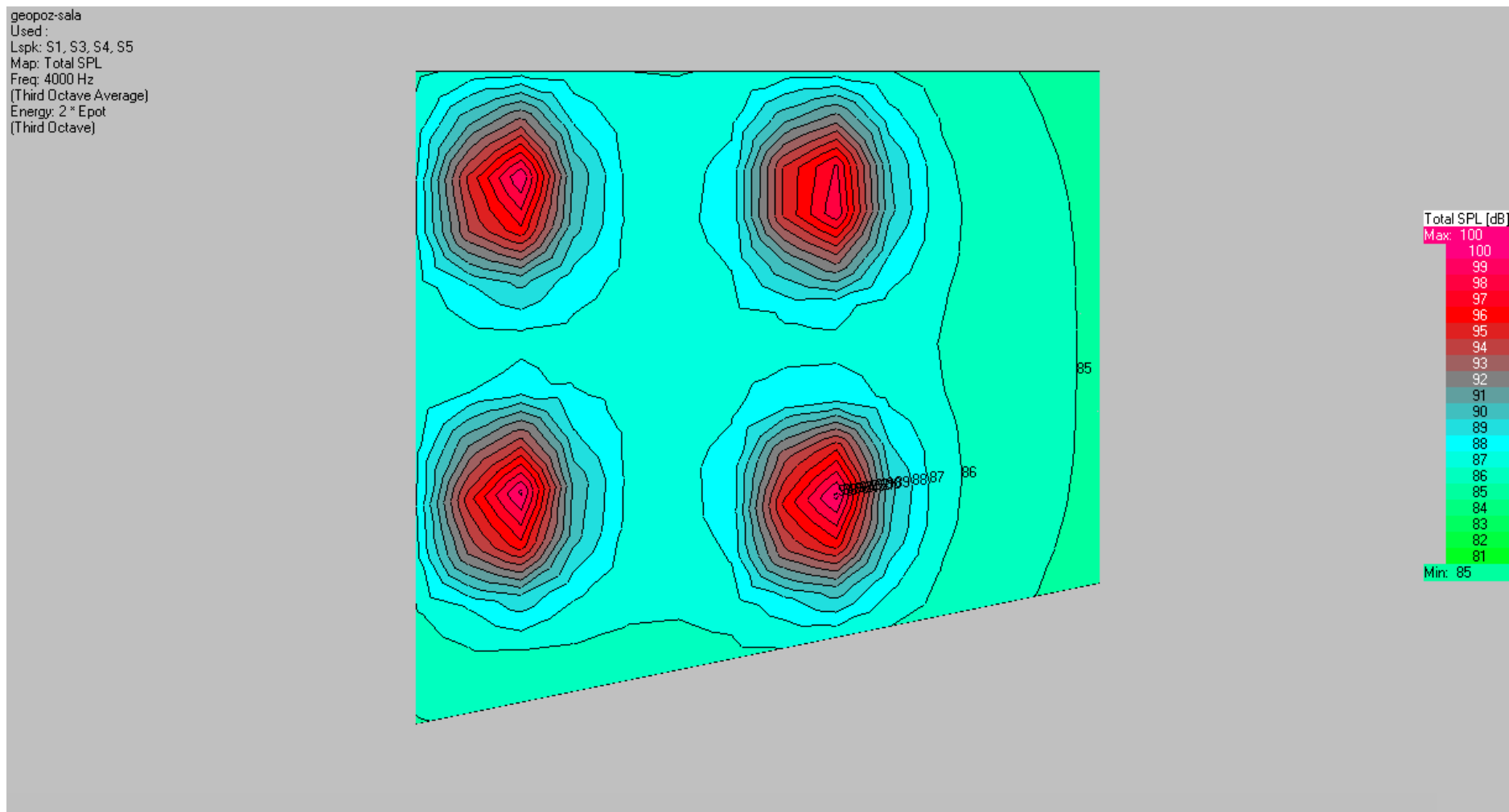
Rys. 29. I piętro: duże pomieszczenie biurowe. Całkowity rozkład ciśnienia akustycznego (pasmo o $f_0 = 500$ Hz).



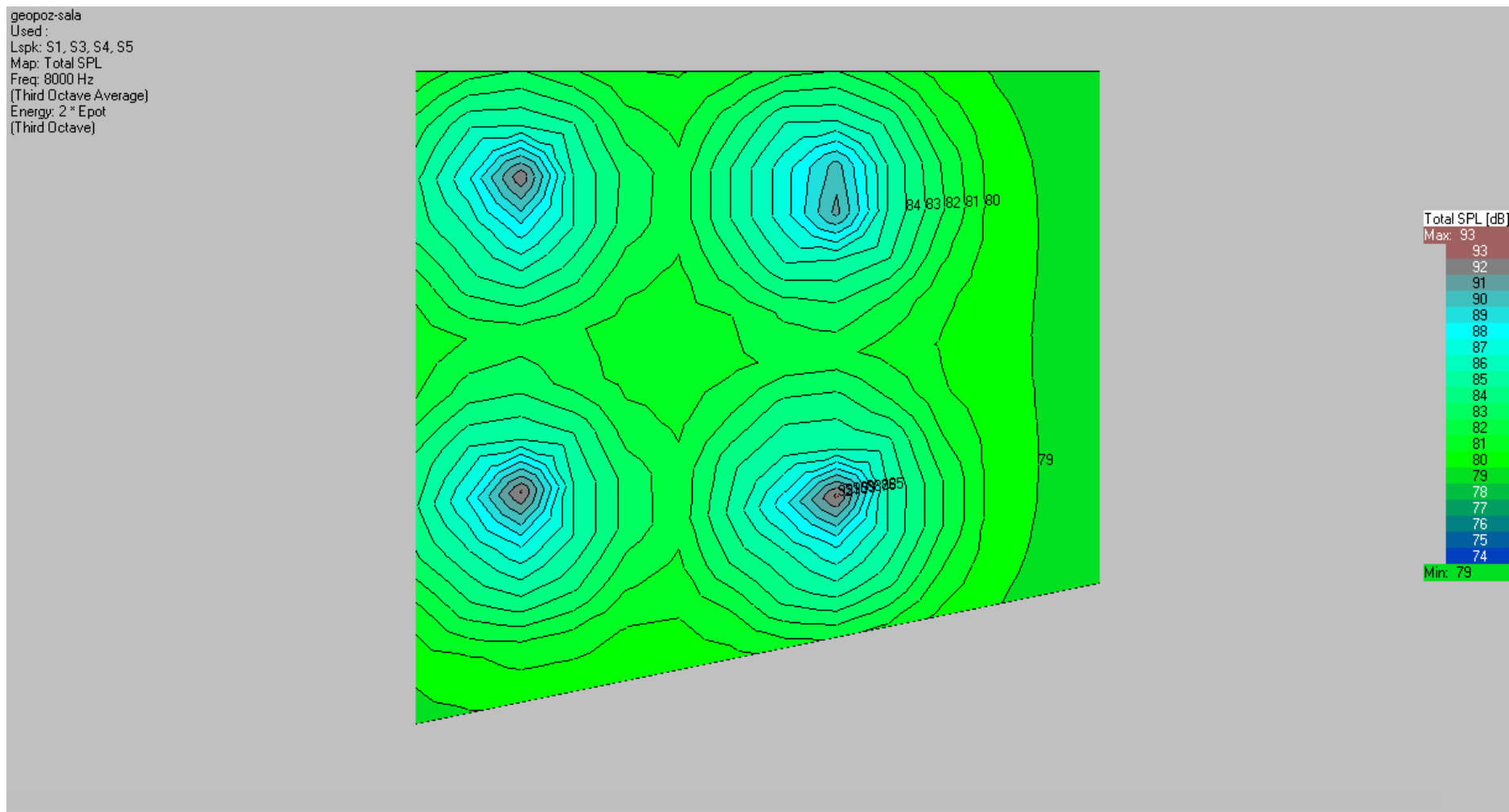
Rys. 30. I piętro: duże pomieszczenie biurowe. Całkowity rozkład ciśnienia akustycznego (pasmo o $f_0 = 1000$ Hz).



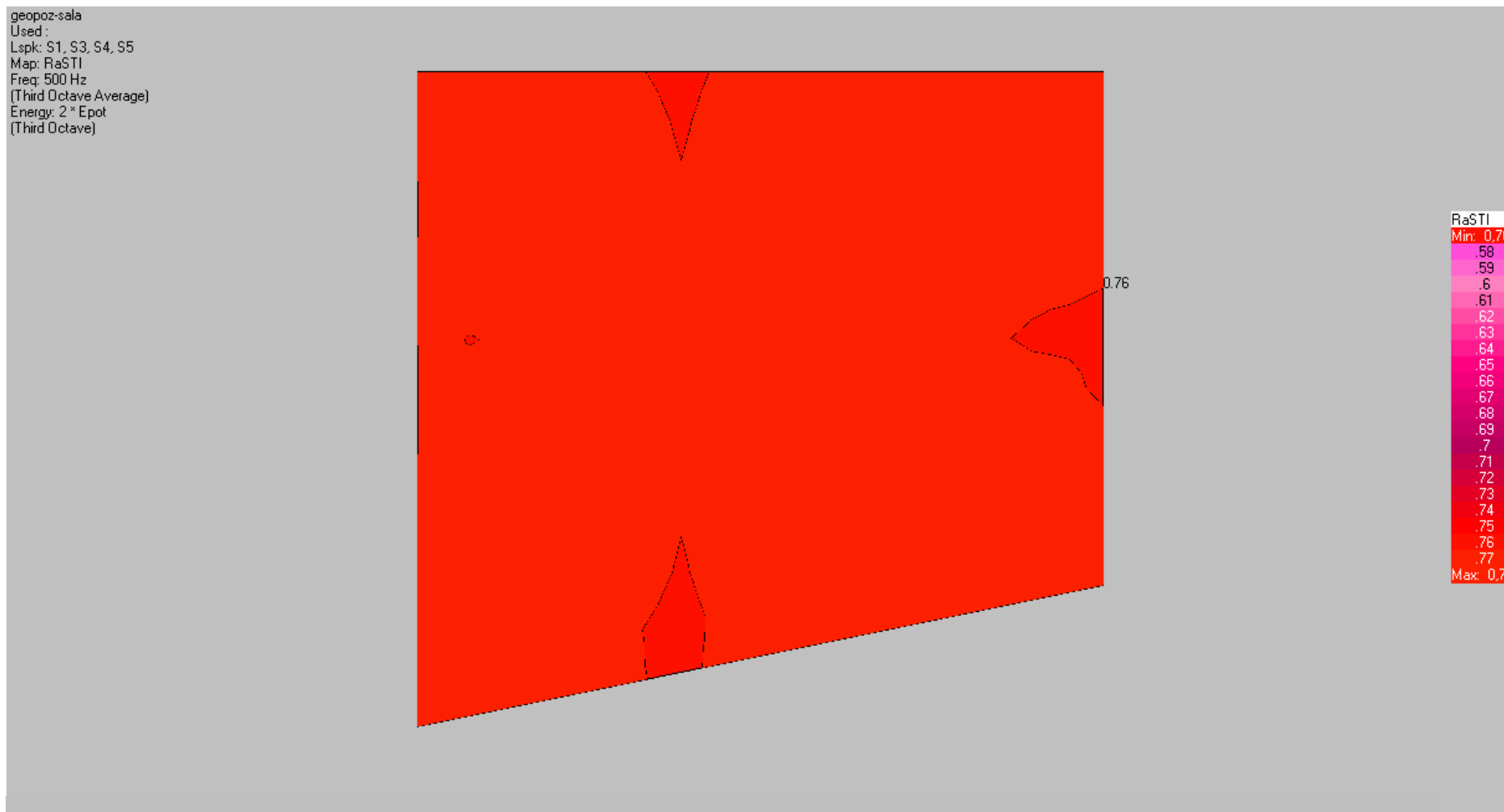
Rys. 31. I piętro: duże pomieszczenie biurowe. Całkowity rozkład ciśnienia akustycznego (pasmo o $f_0 = 2000$ Hz).



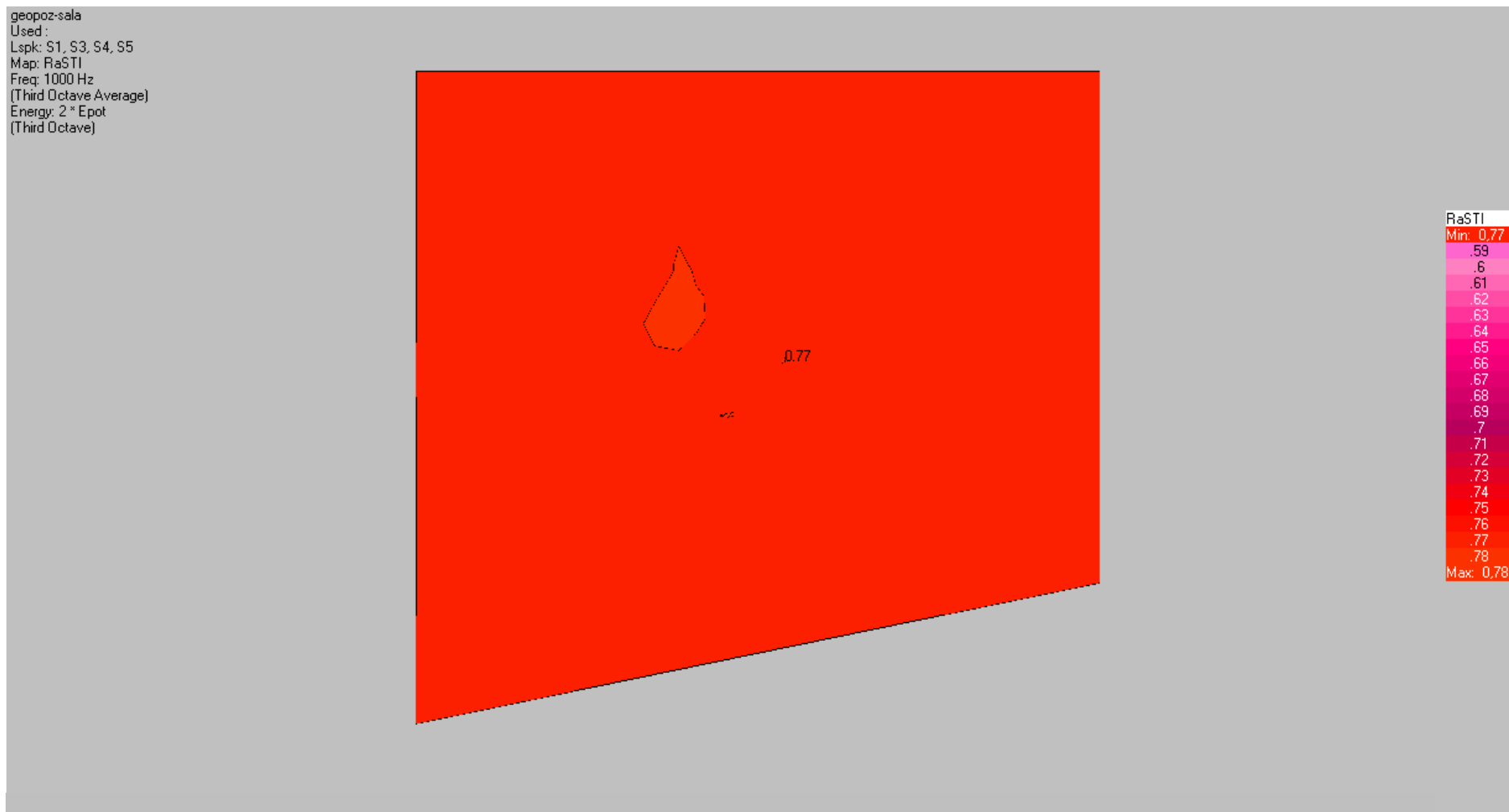
Rys. 32. I piętro: duże pomieszczenie biurowe. Całkowity rozkład ciśnienia akustycznego (pasmo o $f_0 = 4000$ Hz).



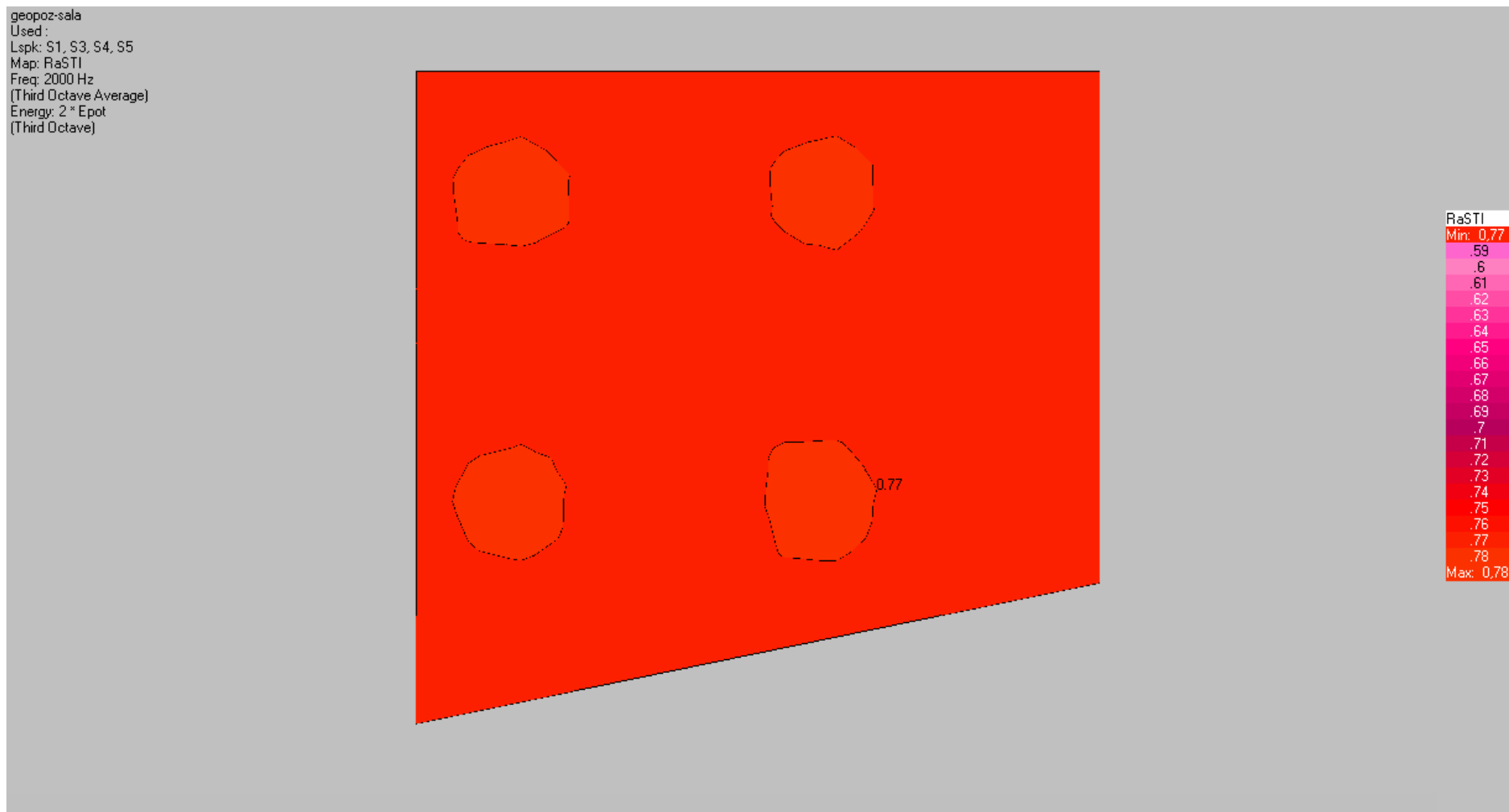
Rys. 33. I piętro: duże pomieszczenie biurowe. Całkowity rozkład ciśnienia akustycznego (pasmo o $f_0 = 8000$ Hz).



Rys. 34. I piętro: duże pomieszczenie biurowe. Rozkład wskaźnika RASTI (pasmo o $f_0 = 500$ Hz).



Rys. 35. I piętro: duże pomieszczenie biurowe. Rozkład wskaźnika RASTI (pasmo o $f_0 = 1000$ Hz).



Rys. 36. I piętro: duże pomieszczenie biurowe. Rozkład wskaźnika RASTI (pasmo o $f_0 = 2000$ Hz).